

# Dyskretna transformacja Fouriera

28.11.2024, Mateusz Wójcik

Istnieje wiele różnych zastosowań **Dyskretnej transformacji Fouriera**. Spotyka się ją w wielu miejscach, gdzie potrzebne jest wykonanie jakiejś operacji na danych. Między innymi w przetwarzaniu sygnałów, zastosowanie DFT pozwala analizować sygnałów w dziedzinie częstotliwościowej, kompresję danych. Oprócz tego DFT stosuje się w filtracji sygnałów, czy to zniwelowania zakłóceń, czy do skupienia się na interesującym nas zakresie widma częstotliwościowego sygnału. Przy wykorzystaniu DFT, można również analizować obrazy, badać wzorce na obrazach, oraz kompresować ich rozmiar. Detekcja pewnych własności sygnału jest również porządną aplikacją, w której korzysta się z DFT. Te wszystkie własności sprawiają, że Dyskretna Transformacja Fouriera stosowana jest w wielu różnych dziedzinach takich jak: Inżynieria dźwięku i akustyka, telekomunikacja, kryptografia (do analizy losowości danych), bioinformatyka, systemy wizyjne, finanse, geofizyka.

## Zad 1

DFT sygnału sinusoidalnego, przy wykorzystaniu częstotliwości próbkowania  $f_p = 1000$  [Hz]

```
clear
syms t w
```

```
% Dane do zbierania danych
N = 10; % liczba próbek
fp = 1000;%Hz
Tp = 1/fp;

% Dane opisujące przebieg sygnału
A0 = 5;
A1 = 10;
f1 = 100; %Hz
x1 = A1*sin(2*pi*f1*t);
x = x1;

tn = (0:N-1)* Tp; % wsp. czasowe próbek
xn = double(subs(x,t,tn));
Xk = zeros(1,N);

for k = 0:N-1 % impl. wzoru (8)
    for n = 0:N-1
        Xk(k+1) = sum(arrayfun(@(n) xn(n) * exp(-1i * 2 * pi /
N*(k)*(n-1)), 1:N));
    end
end
Xk_fft = fft(xn,N); %funkcja wbudowana
dft_err = sum(abs(Xk_fft-Xk));
disp('DFT error:'); disp(dft_err);
```

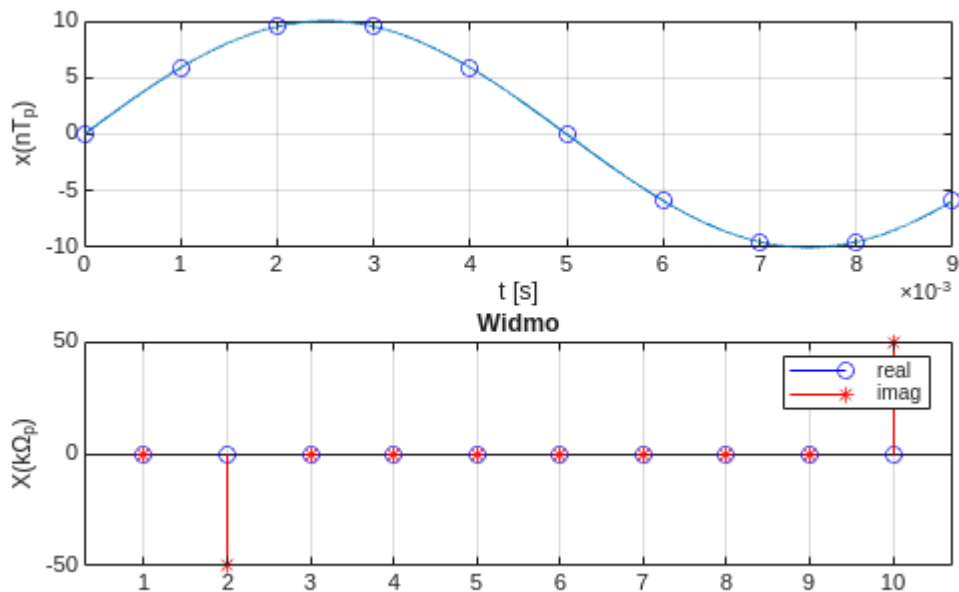
```
DFT error:
1.2616e-13
```

```
figure;
```

```

subplot(2,1,1)
fplot(x,[tn(1),tn(N)]); hold on; grid on
plot(tn, xn,'ob');
xlabel('t [s]'); ylabel('x(nT_p)');
subplot(2,1,2)
stem(real(Xk),'ob'); grid on, hold on
stem(imag(Xk),'*r');
title('Widmo'),
ylabel('X(k\Omega_p)'); %xlabel('f [Hz]')
legend('real','imag')

```



## Zadanie 2

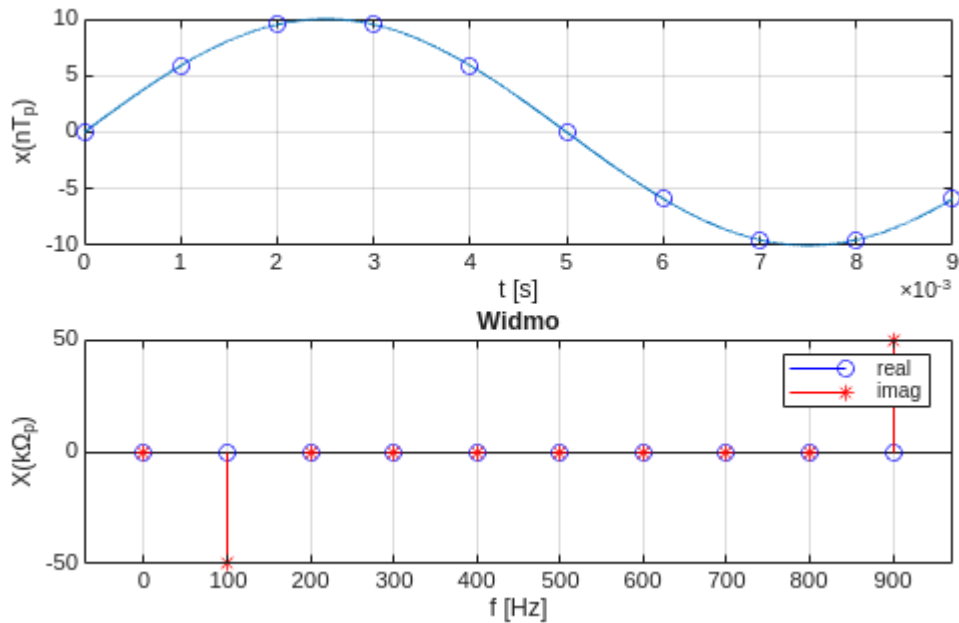
Aby nada sensu fizycznego osi x, nale y przeskalowa warto ci k, odpowiadaj cym im cz stotliwo ci . Wykonuje si to przy u yciu wzoru podanego poni ej:

$$f(k) = \frac{1}{T_p} \frac{k}{N} = f_p \frac{k}{N}$$

```

f = fp/N * (0:N-1);
figure;
subplot(2,1,1)
fplot(x,[tn(1),tn(N)]); hold on; grid on
plot(tn, xn,'ob');
xlabel('t [s]'); ylabel('x(nT_p)');
subplot(2,1,2)
stem(f, real(Xk),'ob'); grid on, hold on
stem(f, imag(Xk),'*r');
title('Widmo'),
xlabel("f [Hz]")
ylabel('X(k\Omega_p)'); %xlabel('f [Hz]')
legend('real','imag')

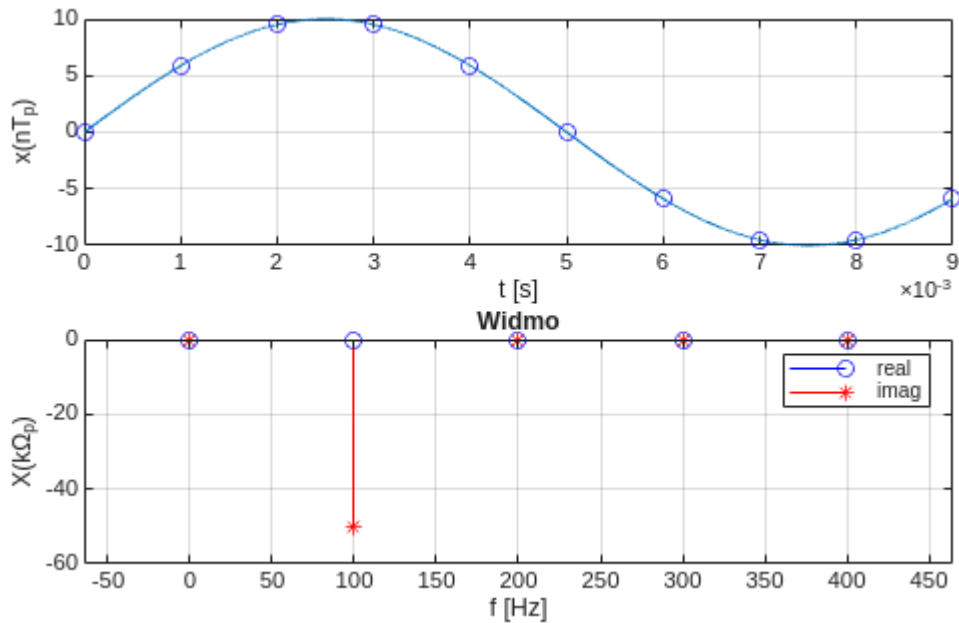
```



### Zadanie 3

Na wcześniejszych wykresach DFT, były uwzględnione zarówno czynniki dodatnie jak i ujemne, dlatego, wybrano  $N/2$  (bo  $N$  jest parzyste) pierwszych próbek zarówno z wektora czynniki, jak i z widma czynniki.

```
figure;
subplot(2,1,1)
fplot(x,[tn(1),tn(N)]); hold on; grid on
plot(tn, xn,'ob');
xlabel('t [s]'); ylabel('x(nT_p)');
subplot(2,1,2)
stem(f(1:N/2), real(Xk(1:N/2)),'ob'); grid on, hold on
stem(f(1:N/2), imag(Xk(1:N/2)),'*r');
title('Widmo'),
xlabel('f [Hz]')
ylabel('X(k\Omega_p)'); %xlabel('f [Hz]')
legend('real','imag')
```



## Zadanie 4

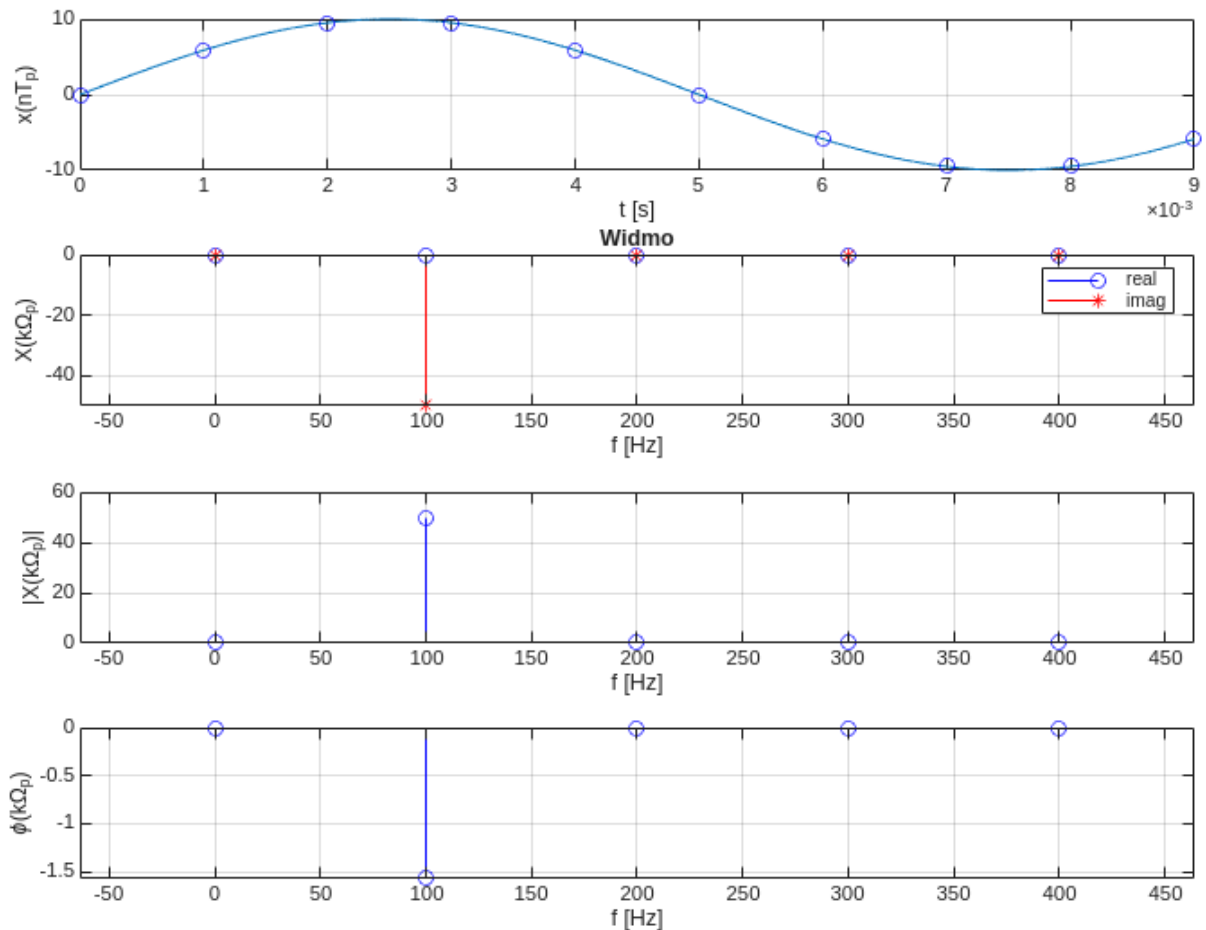
Utworzenie dodatkowych wykresów przedstawiających dodatkowo widmo gęstości amplitud oraz gęstości fazy sygnału.

```
tol = 10e-5;
Xk( abs(Xk) < tol ) = 0;

figure(Position=[100, 100, 800, 600]);
subplot(4,1,1)
fplot(x,[tn(1),tn(N)]); hold on; grid on
plot(tn, xn,'ob');
xlabel('t [s]'); ylabel('x(nT_p)');
subplot(4,1,2)
stem(f(1:N/2), real(Xk(1:N/2)),'ob'); grid on, hold on
stem(f(1:N/2), imag(Xk(1:N/2)),'*r');
title('Widmo'),
xlabel("f [Hz]")
ylabel('X(k\Omega_p)'); %xlabel('f [Hz]')
legend('real','imag')
subplot(4,1,3)
stem(f(1:N/2), abs(Xk(1:N/2)),'ob'); grid on
xlabel("f [Hz]")
ylabel('|X(k\Omega_p)|'); %xlabel('f [Hz]')

subplot(4,1,4)

stem(f(1:N/2), angle(Xk(1:N/2)),'ob'); grid on,
xlabel("f [Hz]")
ylabel('\phi(k\Omega_p)'); %xlabel('f [Hz]')
```



## Zadanie 5

Zmiana liczby próbek na 15 i 20:

```
N = 15;
f = fp/N * (0:N-1);
tn = (0:N-1)*Tp; % wsp. czasowe próbek
xn = double(subs(x,t,tn));
Xk = fft(xn, N);
Xk( abs(Xk) < tol ) = 0;

figure(Position=[100, 100, 800, 600]);
subplot(4,1,1)
fplot(x,[tn(1),tn(N)]); hold on; grid on
plot(tn, xn,'ob');
xlabel('t [s]'); ylabel('x(nT_p)');
subplot(4,1,2)
stem(f(1:(floor(N/2)+1)), real(Xk(1:(floor(N/2)+1))), 'ob'); grid on, hold
on
stem(f(1:floor(N/2)+1), imag(Xk(1:floor(N/2)+1)), '*r');
title('Widmo'),
xlabel('f [Hz]')
```

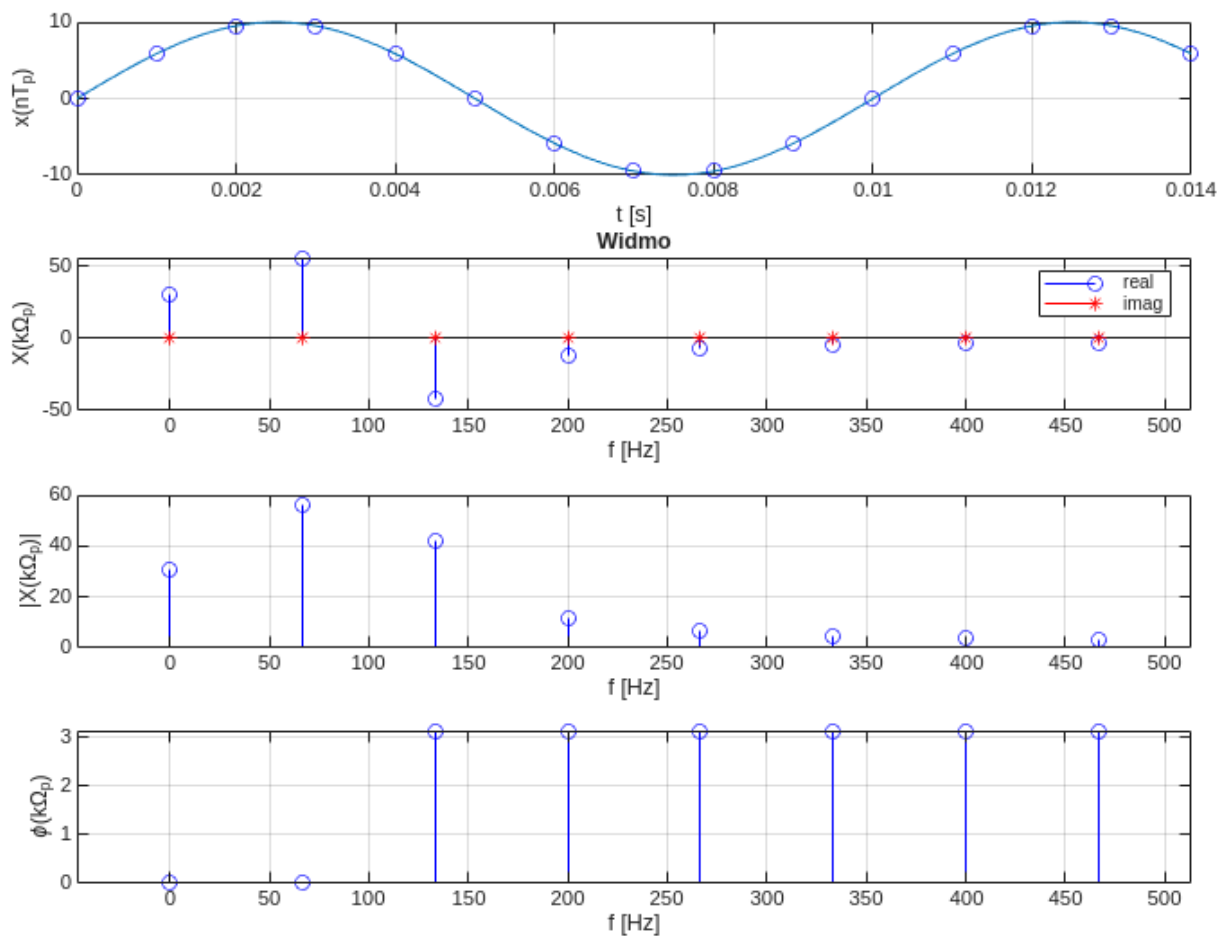
```

ylabel('X(k\Omega_p)'); %xlabel('f [Hz]')
legend('real','imag')
subplot(4,1,3)
stem(f(1:floor(N/2)+1), abs(Xk(1:floor(N/2)+1)), 'ob'); grid on
xlabel("f [Hz]")
ylabel('|X(k\Omega_p)|'); %xlabel('f [Hz]')

subplot(4,1,4)

stem(f(1:floor(N/2)+1), angle(Xk(1:floor(N/2)+1)), 'ob'); grid on,
xlabel("f [Hz]")
ylabel('\phi(k\Omega_p)'); %xlabel('f [Hz]')

```



```

N = 20;
f = fp/N * (0:N-1);
tn = (0:N-1)*Tp; % wsp. czasowe próbek
xn = double(subs(x,t,tn));
Xk = fft(xn, N);
Xk( abs(Xk) < tol ) = 0;

figure(Position=[100, 100, 800, 600]);
subplot(4,1,1)
fplot(x,[tn(1),tn(N)]); hold on; grid on

```

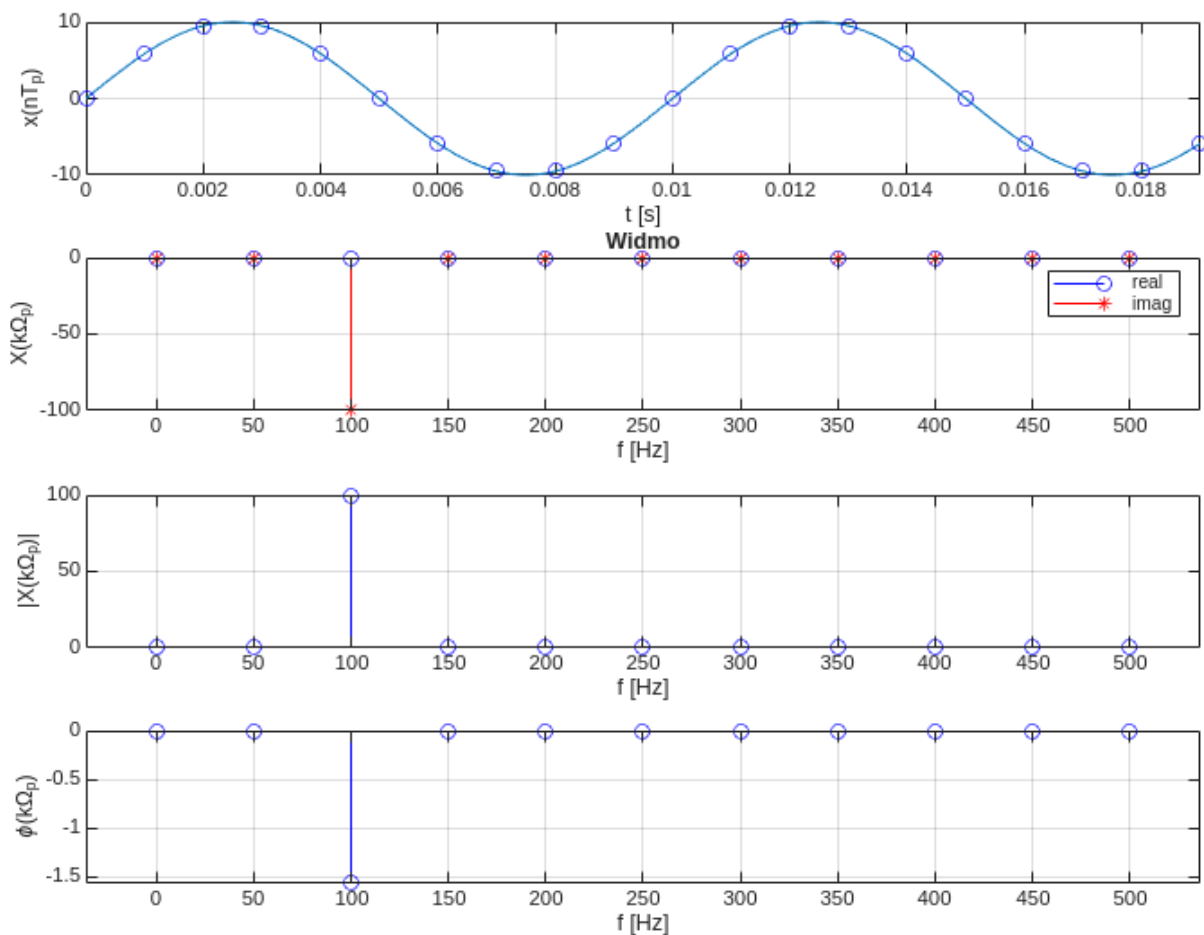
```

plot(tn, xn, 'ob');
xlabel('t [s]'); ylabel('x(nT_p)');
subplot(4,1,2)
stem(f(1:(floor(N/2)+1)), real(Xk(1:(floor(N/2)+1))), 'ob'); grid on, hold
on
stem(f(1:floor(N/2)+1), imag(Xk(1:floor(N/2)+1)), '*r');
title('Widmo'),
xlabel("f [Hz]")
ylabel('X(k\Omega_p)');

legend('real', 'imag')
subplot(4,1,3)
stem(f(1:floor(N/2)+1), abs(Xk(1:floor(N/2)+1)), 'ob'); grid on
xlabel("f [Hz]")
ylabel('|X(k\Omega_p)|');
subplot(4,1,4)

stem(f(1:floor(N/2)+1), angle(Xk(1:floor(N/2)+1)), 'ob'); grid on,
xlabel("f [Hz]")
ylabel('\phi(k\Omega_p)');

```



Można zauważyć, że jest to spotkanie z tzw. Przeciekaniami widma, widając je dla 15 próbek, nie mamy żadnego punktu, któremu odpowiada częstotliwość  $f = 100$  [Hz], dlatego rozkłada się to na resztę częstotliwości.

## Zadanie 6

Kolejny przykład rozlewania się częstotliwości pomiędzy resztę widma, przy idealnie dobranej liczbie badanych próbek.

```
N = 10;
f = fp/N * (0:N-1);

f3 = 150;
x3 = sin(2*pi*f3*t);
x = x3;

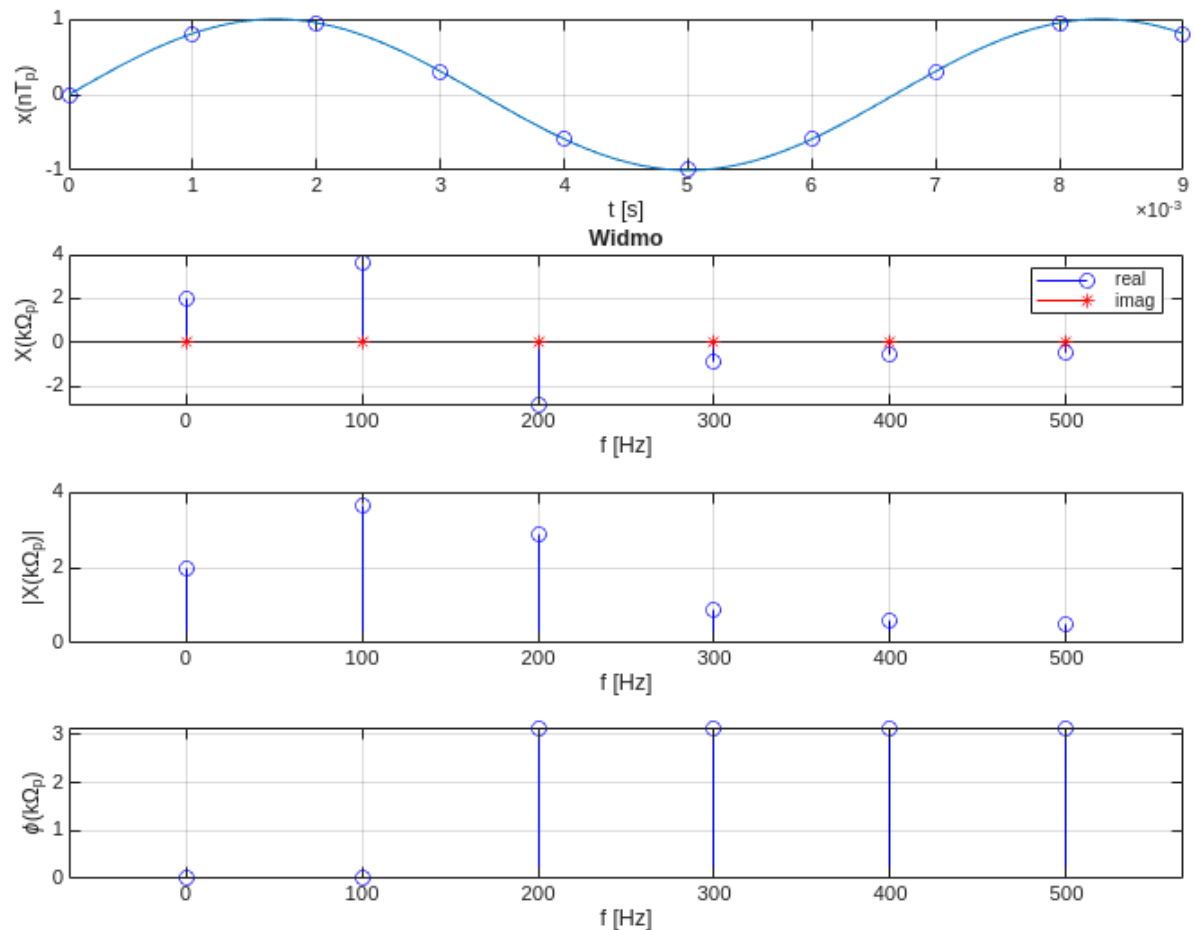
tn = (0:N-1)*Tp; % wsp. czasowe próbek
xn = double(subs(x,t,tn));
Xk = fft(xn, N);
Xk(abs(Xk) < tol) = 0;

figure(Position=[100, 100, 800, 600]);
subplot(4,1,1)
fplot(x,[tn(1),tn(N)]); hold on; grid on
plot(tn, xn,'ob');
xlabel('t [s]'); ylabel('x(nT_p)');
subplot(4,1,2)
stem(f(1:(floor(N/2)+1)), real(Xk(1:(floor(N/2)+1))), 'ob'); grid on, hold on
stem(f(1:floor(N/2)+1), imag(Xk(1:floor(N/2)+1)), '*r');
title('Widmo'),
xlabel('f [Hz]')
ylabel('X(k\Omega_p)');

legend('real','imag')
subplot(4,1,3)
stem(f(1:floor(N/2)+1), abs(Xk(1:floor(N/2)+1)), 'ob'); grid on
xlabel('f [Hz]')
ylabel('|X(k\Omega_p)|');
subplot(4,1,4)

stem(f(1:floor(N/2)+1), angle(Xk(1:floor(N/2)+1)), 'ob'); grid on,
xlabel('f [Hz]')
ylabel('\phi(k\Omega_p)');
```





## Zadanie 7

W celu redukowania efektu przecieku stosuje się różnego rodzaju okna czasowe. W tym ćwiczeniu przeanalizowanie działania trzech z nich

### 1. Puls trójk tny:

```
N = 10;
f = fp/N * (0:N-1);

f3 = 150;
x3 = sin(2*pi*f3*t);
x = x3;

tn = (0:N-1)*Tp; % wsp. czasowe próbek
xn = double(subs(x,t,tn));
xn = xn.*triang(N)';
Xk = fft(xn, N);
Xk( abs(Xk) < tol ) = 0;

figure(Position=[100, 100, 800, 600]);
subplot(4,1,1)
```

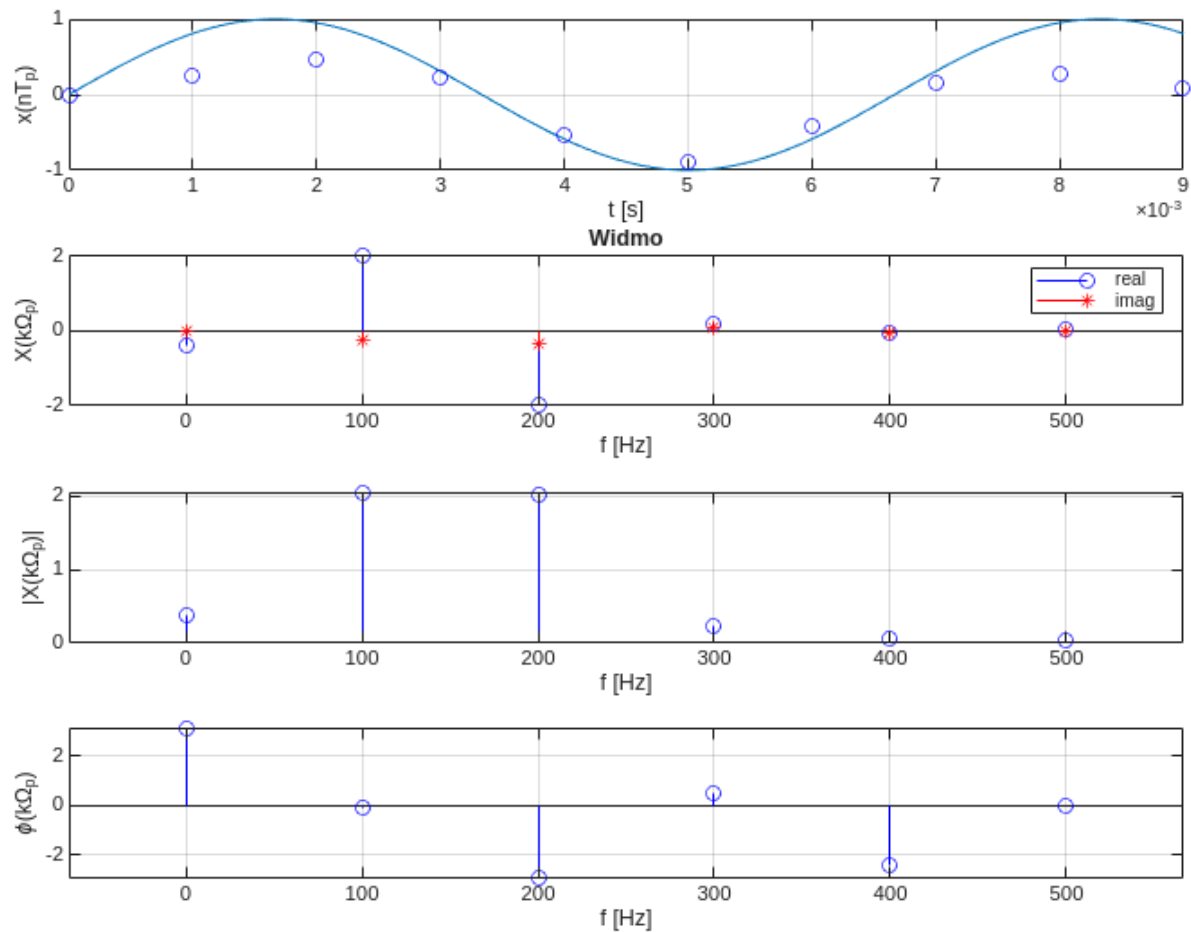
```

fplot(x,[tn(1),tn(N)]); hold on; grid on
plot(tn, xn, 'ob');
xlabel('t [s]'); ylabel('x(nT_p)');
subplot(4,1,2)
stem(f(1:(floor(N/2)+1)), real(Xk(1:(floor(N/2)+1))), 'ob'); grid on, hold
on
stem(f(1:floor(N/2)+1), imag(Xk(1:floor(N/2)+1)), '*r');
title('Widmo'),
xlabel("f [Hz]")
ylabel('X(k\Omega_p)');

legend('real', 'imag')
subplot(4,1,3)
stem(f(1:floor(N/2)+1), abs(Xk(1:floor(N/2)+1)), 'ob'); grid on
xlabel("f [Hz]")
ylabel('|X(k\Omega_p)|');
subplot(4,1,4)

stem(f(1:floor(N/2)+1), angle(Xk(1:floor(N/2)+1)), 'ob'); grid on,
xlabel("f [Hz]")
ylabel('\phi(k\Omega_p)');

```



## 2. Okno Gaussa:

```
N = 10;
f = fp/N * (0:N-1);

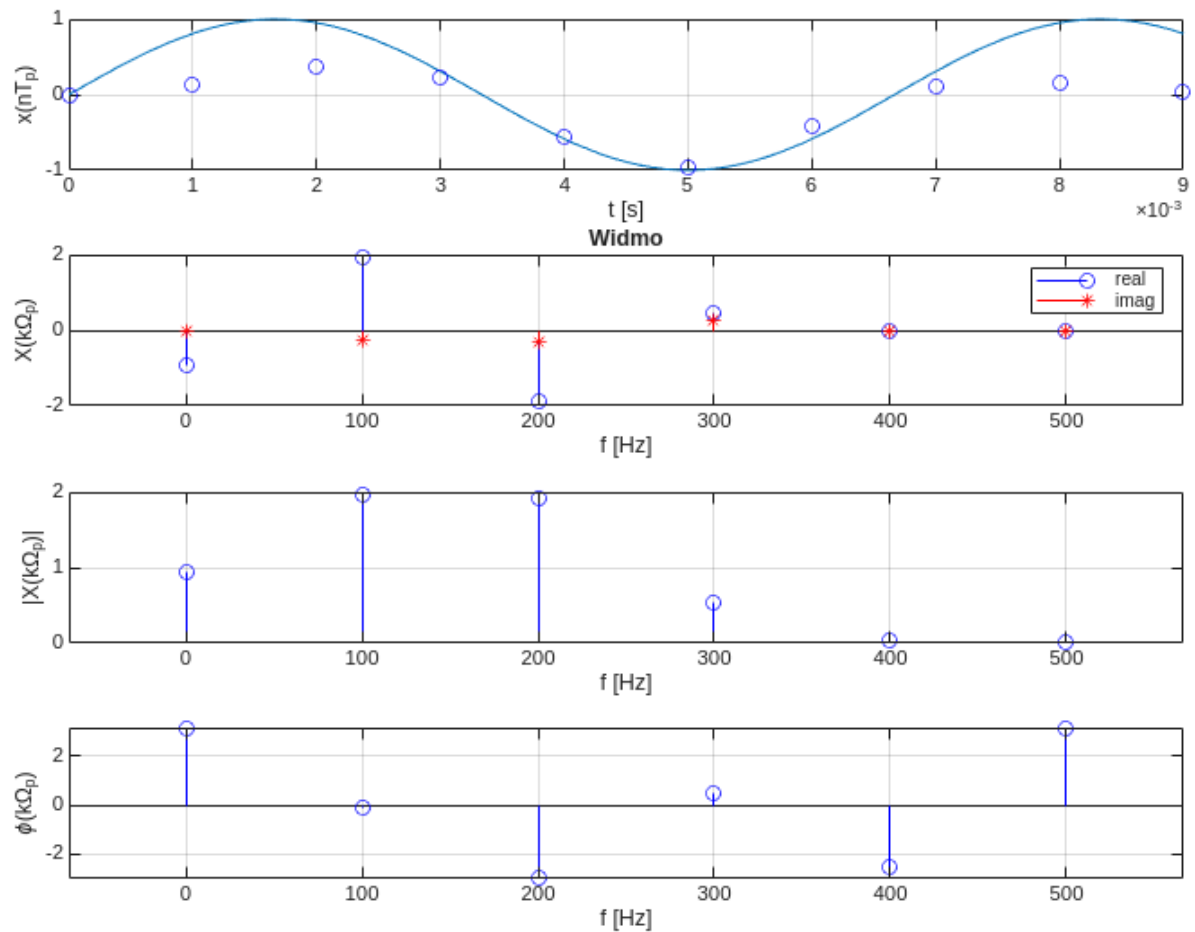
f3 = 150;
x3 = sin(2*pi*f3*t);
x = x3;

tn = (0:N-1)*Tp; % wsp. czasowe próbek
xn = double(subs(x,t,tn));
xn = xn.*window(@gausswin,N,2.5)';
Xk = fft(xn, N);
Xk( abs(Xk) < tol ) = 0;

figure(Position=[100, 100, 800, 600]);
subplot(4,1,1)
fplot(x,[tn(1),tn(N)]); hold on; grid on
plot(tn, xn, 'ob');
xlabel('t [s]'); ylabel('x(nT_p)');
subplot(4,1,2)
stem(f(1:(floor(N/2)+1)), real(Xk(1:(floor(N/2)+1))), 'ob'); grid on, hold on
stem(f(1:floor(N/2)+1), imag(Xk(1:floor(N/2)+1)), '*r');
title('Widmo'),
xlabel("f [Hz]")
ylabel('X(k\Omega_p)');

legend('real', 'imag')
subplot(4,1,3)
stem(f(1:floor(N/2)+1), abs(Xk(1:floor(N/2)+1)), 'ob'); grid on
xlabel("f [Hz]")
ylabel('|X(k\Omega_p)|');
subplot(4,1,4)

stem(f(1:floor(N/2)+1), angle(Xk(1:floor(N/2)+1)), 'ob'); grid on,
xlabel("f [Hz]")
ylabel('\phi(k\Omega_p)');
```



### 3. Okno Hanna

```

N = 10;
f = fp/N * (0:N-1);

f3 = 150;
x3 = sin(2*pi*f3*t);
x = x3;

tn = (0:N-1)*Tp; % wsp. czasowe próbki
xn = double(subs(x,t,tn));
xn = xn.*hann(N)';
Xk = fft(xn, N);
Xk( abs(Xk) < tol ) = 0;

figure(Position=[100, 100, 800, 600]);
subplot(4,1,1)
fplot(x,[tn(1),tn(N)]); hold on; grid on
plot(tn, xn,'ob');
xlabel('t [s]'); ylabel('x(nT_p)');
subplot(4,1,2)

```

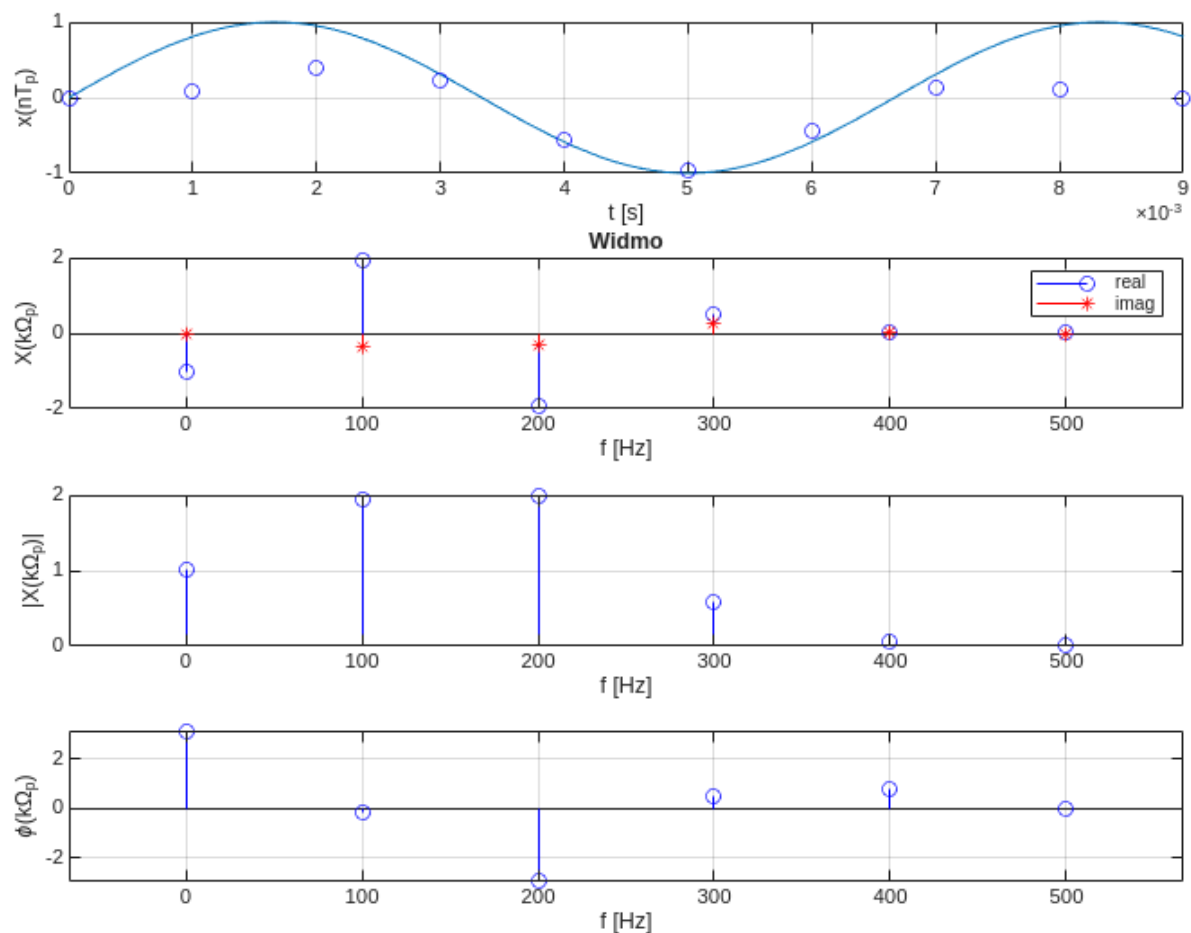
```

stem(f(1:(floor(N/2)+1)), real(Xk(1:(floor(N/2)+1))), 'ob'); grid on, hold
on
stem(f(1:(floor(N/2)+1)), imag(Xk(1:(floor(N/2)+1))), '*r');
title('Widmo'),
xlabel("f [Hz]")
ylabel('X(k\Omega_p)');

legend('real', 'imag')
subplot(4,1,3)
stem(f(1:(floor(N/2)+1)), abs(Xk(1:(floor(N/2)+1))), 'ob'); grid on
xlabel("f [Hz]")
ylabel('|X(k\Omega_p)|');
subplot(4,1,4)

stem(f(1:(floor(N/2)+1)), angle(Xk(1:(floor(N/2)+1))), 'ob'); grid on,
xlabel("f [Hz]")
ylabel('\phi(k\Omega_p)');

```



Jak mo na zauwazy zastosowanie okien znacz co poprawia sygnał zapobiegaj c przeciekowi widma, jednak nie eliminuj c go całkowicie. W celu lepszej eliminacji nale ałoby napewno zwi kszy ilo próbek sygnału, aby posiada wicej punktów pomiarowych, a na tej podstawie mie mniej zró nic mi dzy kolejnymi cz stotliwociami.

## Zadanie 8

```
N = 10;  
f = fp/N * (0:N-1);
```

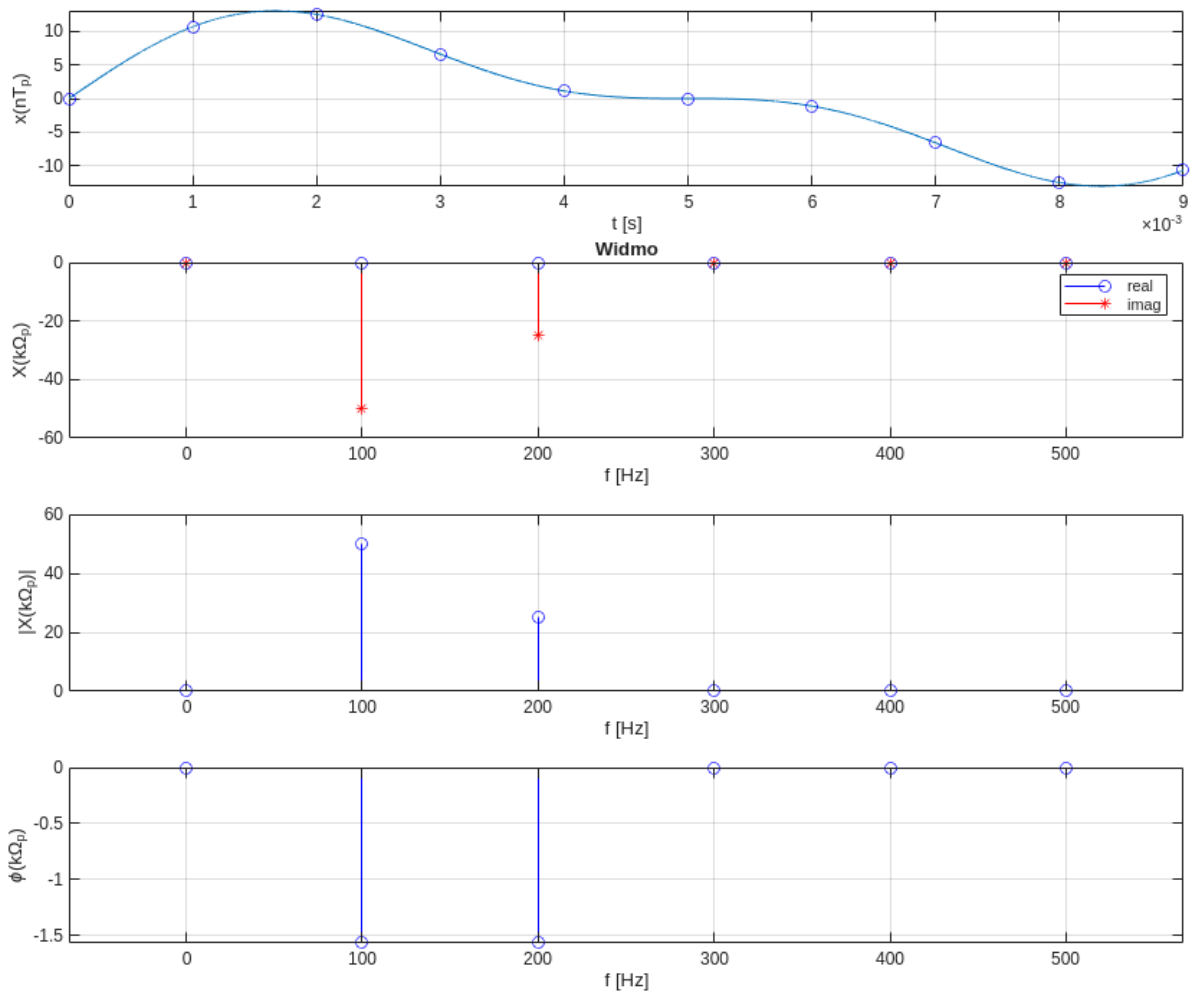
```
f2 = 200;  
A2 = 5.0
```

```
A2 =  
5
```

```
x = A1*sin(2*pi*f1*t) + A2*sin(2*pi*f2*t);
```

```
tn = (0:N-1)*Tp; % wsp. czasowe próbek  
xn = double(subs(x,t,tn));  
Xk = fft(xn, N);  
Xk( abs(Xk) < tol ) = 0;
```

```
figure(Position=[100, 100, 1000, 800]);  
subplot(4,1,1)  
fplot(x,[tn(1),tn(N)]); hold on; grid on  
plot(tn, xn, 'ob');  
xlabel('t [s]'); ylabel('x(nT_p)');  
subplot(4,1,2)  
stem(f(1:(floor(N/2)+1)), real(Xk(1:(floor(N/2)+1))), 'ob'); grid on, hold  
on  
stem(f(1:floor(N/2)+1), imag(Xk(1:floor(N/2)+1))), '*r');  
title('Widmo'),  
xlabel("f [Hz]")  
ylabel('X(k\Omega_p)');  
  
legend('real', 'imag')  
subplot(4,1,3)  
stem(f(1:floor(N/2)+1), abs(Xk(1:floor(N/2)+1))), 'ob'); grid on  
xlabel("f [Hz]")  
ylabel('|X(k\Omega_p)|');  
subplot(4,1,4)  
  
stem(f(1:floor(N/2)+1), angle(Xk(1:floor(N/2)+1))), 'ob'); grid on,  
xlabel("f [Hz]")  
ylabel('\phi(k\Omega_p)');
```



```

xn = [xn(N-1:N), xn(1:N-2)];
Xk = fft(xn, N);
Xk( abs(Xk) < tol ) = 0;

figure(Position=[100, 100, 1000, 800]);
subplot(4,1,1)
fplot(x,[tn(1),tn(N)]); hold on; grid on
plot(tn, xn,'ob');
xlabel('t [s]'); ylabel('x(nT_p)');
subplot(4,1,2)
stem(f(1:(floor(N/2)+1)), real(Xk(1:(floor(N/2)+1))), 'ob'); grid on, hold
on
stem(f(1:floor(N/2)+1), imag(Xk(1:floor(N/2)+1)), '*r');
title('Widmo'),
xlabel("f [Hz]")
ylabel('X(k\Omega_p)');

legend('real','imag')
subplot(4,1,3)
stem(f(1:floor(N/2)+1), abs(Xk(1:floor(N/2)+1)), 'ob'); grid on

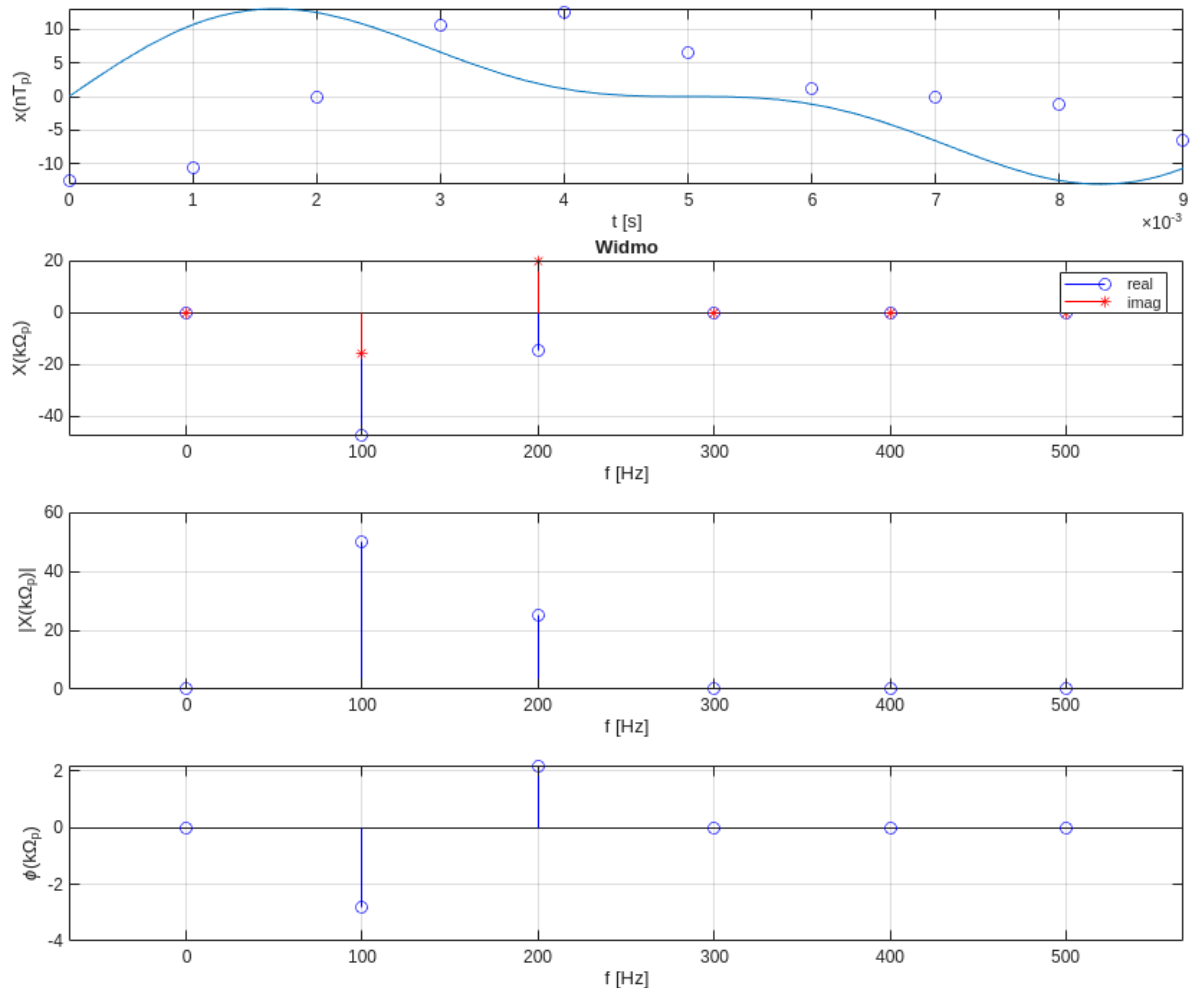
```

```

xlabel("f [Hz]")
ylabel(' |X(k\Omega_p)| ');
subplot(4,1,4)

stem(f(1:floor(N/2)+1), angle(Xk(1:floor(N/2)+1)), 'ob'); grid on,
xlabel("f [Hz]")
ylabel(' \phi(k\Omega_p) ');

```



Jak mo na zauwa y przesuni cie w prawo sygnału o dwi próbki nie wpłyn ło na g to amplitudow sygnału, natomiast zmieniła si odpowiednio g sto fazy sygnału.

## Zadanie domowe

```

N = 10;
x = A1*sin(2*pi*f1*t) + A2*sin(2*pi*f2*t);
tn = (0:N-1)*Tp; % wsp. czasowe próbek
xn = double(subs(x,t,tn));

Xk1 = zeros(1,N);
for k = 0:N-1 % impl. wzoru (8)
    for n = 0:N-1

```



```

Xk1(k+1) = sum(arrayfun(@(n) xn(n) * exp(-1i * 2 * pi /
N*(k)*(n-1)), 1:N));
end
end

```

### Implementacja macierzowa:

```

rows = N;
cols = N;

[n, k] = ndgrid(0:N-1, 0:N-1);

% Calculate the matrix of exponents
dft_matrix = exp(-1i * 2 * pi/N *k.*n);

Xk2 = xn * dft_matrix;

```

### Porównanie obu metod:

```

Xk_fft = fft(xn,N); %funkcja wbudowana
dft_err1 = sum(abs(Xk_fft-Xk1));
dft_err2 = sum(abs(Xk_fft-Xk2));
disp('Implementacja przy u yciu p tli: DFT error:'); disp(dft_err1);

```

```

Implementacja przy u yciu p tli: DFT error:
1.5487e-13

```

```

disp('Implementacja macierzowa: DFT error:'); disp(dft_err2);

```

```

Implementacja macierzowa: DFT error:
1.5701e-13

```

Jak mo na zauwa y obie metody daj zbli one wyniki, natomiast implementacja macierzowa pozwala na znacznie szybsze wykonanie, w porównaniu do wykorzystania operacji w p tli.

## Wnioski

Dyskretna transformacja Fouriera (DFT) znajduje szerokie zastosowanie w analizie sygnałów, obrazów oraz innych dziedzinach nauki i techniki. Dzi ki niej mo liwe jest przej cie z domeny czasowej do domeny cz stotliwo ciowej, co pozwala na szczegółow analiz widma sygnałów, identyfikacj ich cech oraz eliminacj zakłóce . Przykłady zastosowa DFT obejmuj przetwarzanie sygnałów audio, analiz obrazów, telekomunikacj , bioinformatyk czy diagnostyk medyczn . Wszystkie te operacje mo na przeprowadzi na urz dzeniach cyfrowych, czyli np. na komputerach, mikrokontrolerach, układach FPGA.

W trakcie laboratorium poczyniono kilka obserwacji, stwierdzono m. in. e jako wyników DFT zale y od liczby próbek sygnału oraz zastosowanych odpowiednich okien czasowych. Zaobserwowano równie efekt przecieku widma. W celu zwalczania negatywnych efektów przecieku widma stosuje si okna czasowe, takie jak Hanninga czy Gaussa, które pozwalaj znacz co poprawi dokładno analizy, cho , aby uzyska lepsze efekty eliminacji przecieków wymagane jest zwi kszenia liczby próbek.

Porównanie implementacji p tlowej i macierzowej wykazało, e metoda macierzowa jest znacznie szybsza, przy zachowaniu wysokiej dokładno ci. W praktyce jednak wbudowane funkcje, takie jak `fft`, upraszczaj obliczenia, zapewniaj c równocze nie optymaln wydajno i precyzj .